

# Moderne Experimentalphysik III: Kerne und Teilchen (Physik VI)

Günter Quast, Roger Wolf, Pablo Goldenzweig

11. Juli 2017

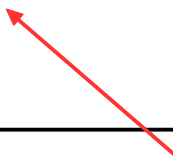
INSTITUTE OF EXPERIMENTAL PARTICLE PHYSICS (IEKP) – PHYSICS FACULTY



# Das SM (ohne Massenterme)

- **Zusammenfassung** der Ergebnisse der letzten Vorlesung:

## Fermionkinematik



$$\mathcal{L}^{SU(2) \times U(1)} = \mathcal{L}^{\text{kin}} + \mathcal{L}^{CC} + \mathcal{L}^{NC} + \mathcal{L}^{\text{gauge}}$$

$$\mathcal{L}^{\text{kin}} = i\bar{e}\gamma^\mu \partial_\mu e + i\bar{\nu}\gamma^\mu \partial_\mu \nu$$

$$\mathcal{L}^{CC} = -\frac{e}{\sqrt{2} \sin \theta_W} [W_\mu^+ \bar{\nu} \gamma_\mu e_L + W_\mu^- \bar{e}_L \gamma_\mu \nu]$$

$$\mathcal{L}^{NC} = -\frac{e}{2 \sin \theta_W \cos \theta_W} Z_\mu [(\bar{\nu} \gamma_\mu \nu) + (\bar{e}_L \gamma_\mu e_L)] + e [A_\mu - \tan \theta_W Z_\mu] (\bar{e} \gamma_\mu e)$$

$$\mathcal{L}^{\text{gauge}} = -\frac{1}{2} \text{Tr} (W_{\mu\nu}^a W^{a\mu\nu}) - \frac{1}{4} B_{\mu\nu} B^{\mu\nu} \Big| \begin{array}{l} B_\mu \rightarrow A_\mu \\ W_\mu^3 \rightarrow Z_\mu \end{array}$$

# Das SM (ohne Massenterme)

- **Zusammenfassung** der Ergebnisse der letzten Vorlesung:

Fermionkinematik

Geladene Ströme

$$\mathcal{L}^{SU(2) \times U(1)} = \mathcal{L}^{\text{kin}} + \mathcal{L}^{CC} + \mathcal{L}^{NC} + \mathcal{L}^{\text{gauge}}$$

$$\mathcal{L}^{\text{kin}} = i\bar{e}\gamma^\mu \partial_\mu e + i\bar{\nu}\gamma^\mu \partial_\mu \nu$$

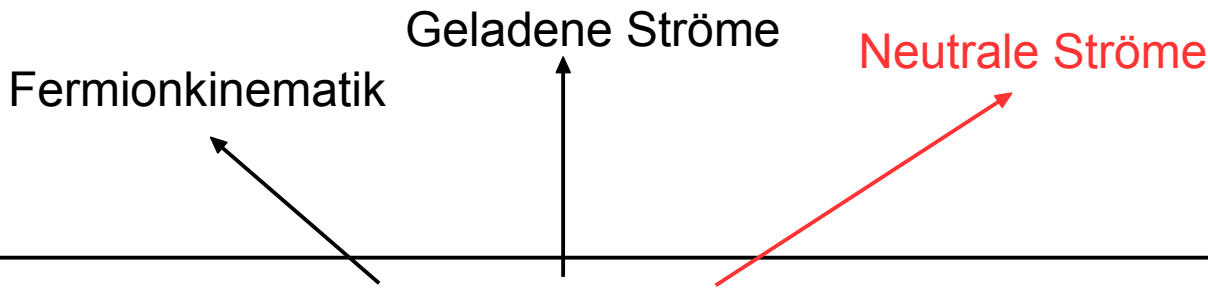
$$\mathcal{L}^{CC} = -\frac{e}{\sqrt{2} \sin \theta_W} [W_\mu^+ \bar{\nu} \gamma_\mu e_L + W_\mu^- \bar{e}_L \gamma_\mu \nu]$$

$$\mathcal{L}^{NC} = -\frac{e}{2 \sin \theta_W \cos \theta_W} Z_\mu [(\bar{\nu} \gamma_\mu \nu) + (\bar{e}_L \gamma_\mu e_L)] + e [A_\mu - \tan \theta_W Z_\mu] (\bar{e} \gamma_\mu e)$$

$$\mathcal{L}^{\text{gauge}} = -\frac{1}{2} \text{Tr} (W_{\mu\nu}^a W^{a\mu\nu}) - \frac{1}{4} B_{\mu\nu} B^{\mu\nu} \Big| \begin{array}{l} B_\mu \rightarrow A_\mu \\ W_\mu^3 \rightarrow Z_\mu \end{array}$$

# Das SM (ohne Massenterme)

- **Zusammenfassung** der Ergebnisse der letzten Vorlesung:



$$\mathcal{L}^{SU(2) \times U(1)} = \mathcal{L}^{\text{kin}} + \mathcal{L}^{CC} + \mathcal{L}^{NC} + \mathcal{L}^{\text{gauge}}$$

$$\mathcal{L}^{\text{kin}} = i\bar{e}\gamma^\mu \partial_\mu e + i\bar{\nu}\gamma^\mu \partial_\mu \nu$$

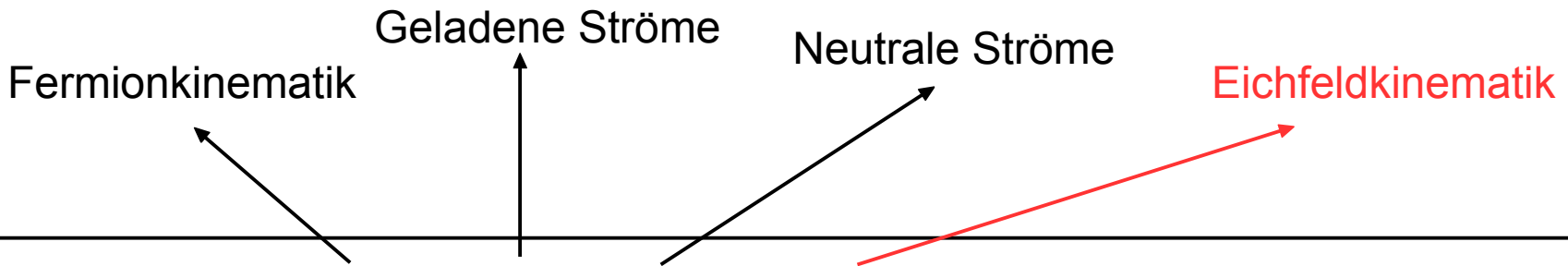
$$\mathcal{L}^{CC} = -\frac{e}{\sqrt{2} \sin \theta_W} [W_\mu^+ \bar{\nu} \gamma_\mu e_L + W_\mu^- \bar{e}_L \gamma_\mu \nu]$$

$$\mathcal{L}^{NC} = -\frac{e}{2 \sin \theta_W \cos \theta_W} Z_\mu [(\bar{\nu} \gamma_\mu \nu) + (\bar{e}_L \gamma_\mu e_L)] + e [A_\mu - \tan \theta_W Z_\mu] (\bar{e} \gamma_\mu e)$$

$$\mathcal{L}^{\text{gauge}} = -\frac{1}{2} \text{Tr} (W_{\mu\nu}^a W^{a\mu\nu}) - \frac{1}{4} B_{\mu\nu} B^{\mu\nu} \Big| \begin{array}{l} B_\mu \rightarrow A_\mu \\ W_\mu^3 \rightarrow Z_\mu \end{array}$$

# Das SM (ohne Massenterme)

- **Zusammenfassung** der Ergebnisse der letzten Vorlesung:



$$\mathcal{L}^{SU(2) \times U(1)} = \mathcal{L}^{\text{kin}} + \mathcal{L}^{CC} + \mathcal{L}^{NC} + \mathcal{L}^{\text{gauge}}$$

$$\mathcal{L}^{\text{kin}} = i\bar{e}\gamma^\mu \partial_\mu e + i\bar{\nu}\gamma^\mu \partial_\mu \nu$$

$$\mathcal{L}^{CC} = -\frac{e}{\sqrt{2} \sin \theta_W} [W_\mu^+ \bar{\nu} \gamma_\mu e_L + W_\mu^- \bar{e}_L \gamma_\mu \nu]$$

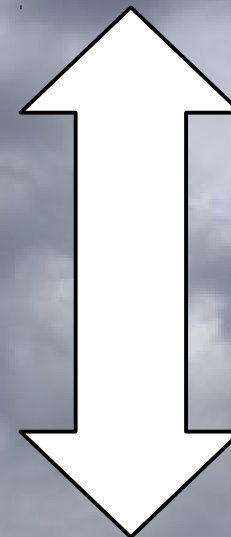
$$\mathcal{L}^{NC} = -\frac{e}{2 \sin \theta_W \cos \theta_W} Z_\mu [(\bar{\nu} \gamma_\mu \nu) + (\bar{e}_L \gamma_\mu e_L)] + e [A_\mu - \tan \theta_W Z_\mu] (\bar{e} \gamma_\mu e)$$

$$\mathcal{L}^{\text{gauge}} = -\frac{1}{2} \text{Tr} (W_{\mu\nu}^a W^{a\mu\nu}) - \frac{1}{4} B_{\mu\nu} B^{\mu\nu} \Big| \begin{array}{l} B_\mu \rightarrow A_\mu \\ W_\mu^3 \rightarrow Z_\mu \end{array}$$

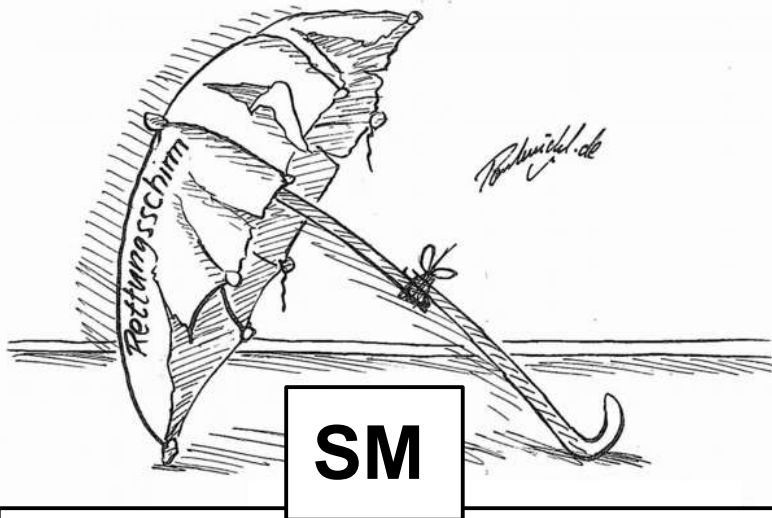
Lokale Eichtheorien erklären  
**nicht-triviale Struktur** funda-  
mental er WW aus relativ  
einfachem Ansatz



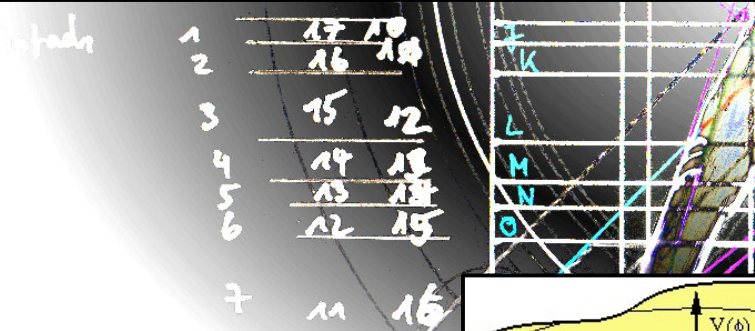
Lokale Eichtheorien erklären  
**nicht-triviale Struktur** funda-  
mental der WW aus relativ  
einfachem Ansatz



Präsenz massiver Eichbosonen  
**bricht lokale Eichsymmetrie  
explizit!**



**Problem:** lokale Eichsymmetrien in Lagrangedichte sind durch massive Teilchen explizit gebrochen



Erinnerung:  
VL-15 Folie 11

## Wie kann eine Symmetrie zur gleichen Zeit erhalten und gebrochen sein?

Spontane Symmetriebrechung:

$$f(x, y) = x^2 + y^2$$

$$x = r \cos \varphi$$

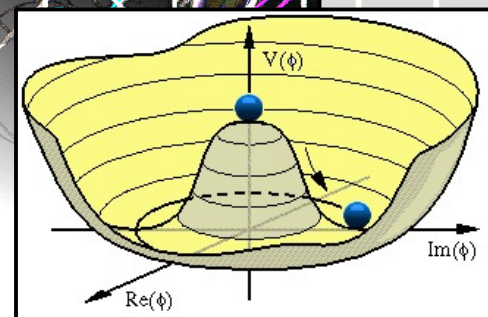
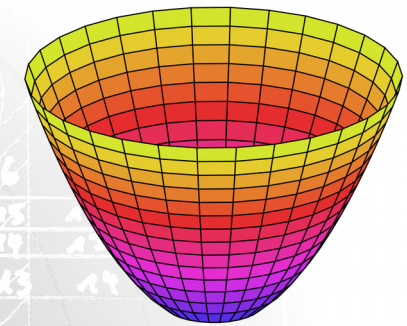
$$y = r \sin \varphi$$

$$f(x, y)|_{r, \varphi} = r^2 (\cos \varphi^2 + \sin \varphi^2) = r^2$$

$$\tilde{f}(x, y) = (x - 1)^2 + (y - 1)^2$$

$$\tilde{f}(x, y)|_{r, \varphi} = r^2 + 2(1 - r(\sin \varphi + \cos \varphi))$$

("hidden symmetry")



Führe Potential ein das den Grundzustand des Universums aus der Symmetriearchse der Bewegungsgleichungen zwingt.

→ Teilchenmasse als Kopplung an nicht verschwindenden Vakuumerwartungswert.

# Wie Symmetriebrechung einführen?

---

- Alle bekannten Teilchen **erfüllen lokale Eichsymmetrie** (entweder als  $SU(2)_L$ -Dublett oder -Singulett)

# Wie Symmetriebrechung einführen?

- Alle bekannten Teilchen **erfüllen lokale Eichsymmetrie** (entweder als  $SU(2)_L$ -Dublett oder -Singulett)
- **Postulierte Existenz eines neuen Feldes**  $\phi$  mit den folgenden Eigenschaften:
  - $\phi$  ist ein  $SU(2)_L$ -Dublett
  - Besitzt eine Selbstwechselwirkung, die zu einem Potential mit spontaner Symmetriebrechung führt

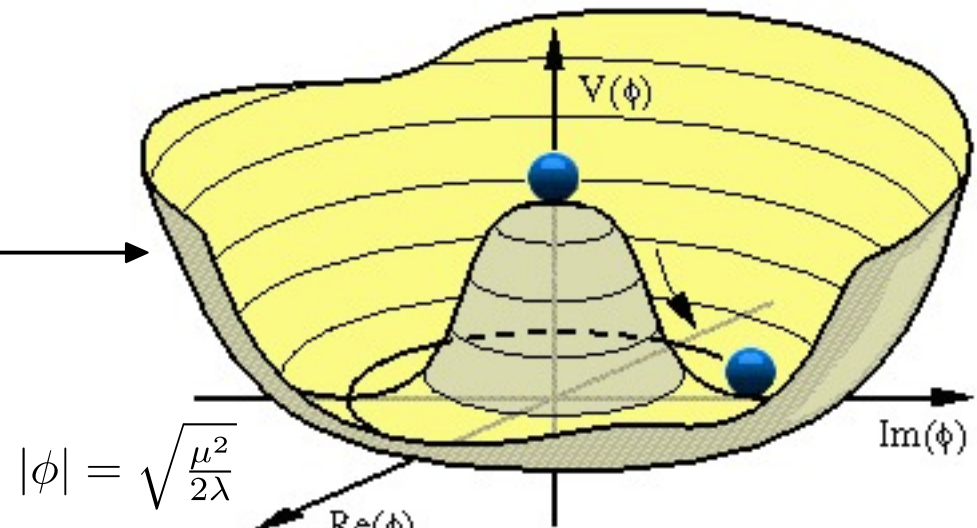
# Wie Symmetriebrechung einführen?

- Alle bekannten Teilchen **erfüllen lokale Eichsymmetrie** (entweder als  $SU(2)_L$ -Dublett oder -Singulett)
- **Postulierte Existenz eines neuen Feldes**  $\phi$  mit den folgenden Eigenschaften:
  - $\phi$  ist ein  $SU(2)_L$ -Dublett
  - Besitzt eine Selbstwechselwirkung, die zu einem Potential mit spontaner Symmetriebrechung führt
- Die Massen aller Teilchen lassen sich dann dynamisch, durch Kopplung an dieses neue Feld in die Theorie einführen
- Im folgenden Demonstration an komplex-skalarem Feld (= "einfaches Beispiel")

# Spontane Symmetriebrechung in der Teilchenphysik

- Goldstone Potential:

$$\begin{aligned}\phi &= \frac{1}{\sqrt{2}} (\phi_1 + i\phi_2) \\ V(\phi) &= -\mu^2 |\phi|^2 + \lambda |\phi|^4 \\ \mathcal{L}(\phi) &= \partial_\mu \phi \partial^\mu \phi^* - V(\phi)\end{aligned}$$

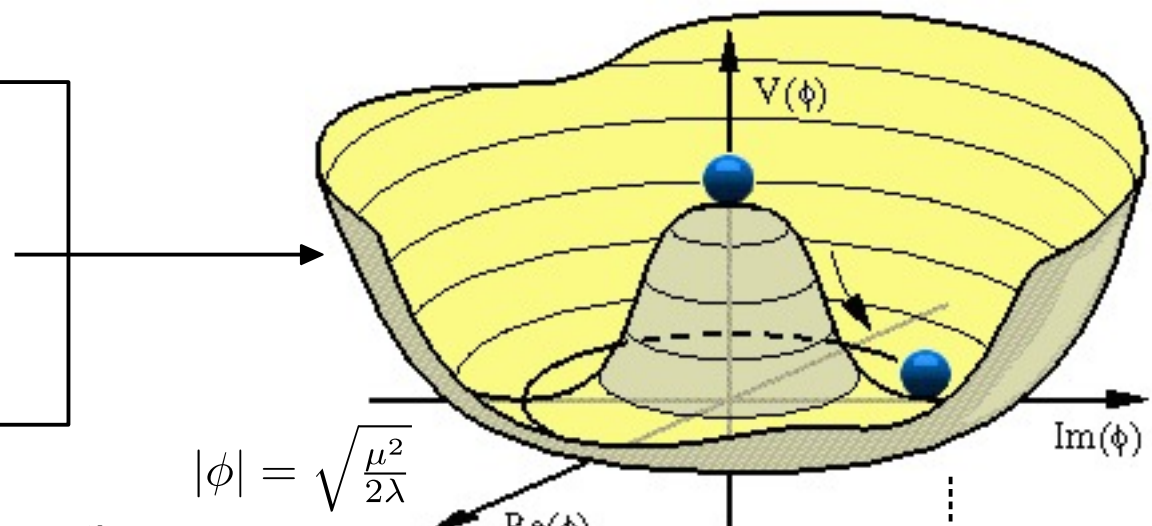


- invariant unter  $U(1)$  Transformationen  
(=  $\varphi$  symmetrisch)
- metastabil in  $\phi = 0$
- Grundzustand bricht  $U(1)$
- Zur gleichen Zeit sind Grundzustände in  $\varphi$  ununterscheidbar

# Spontane Symmetriebrechung in der Teilchenphysik

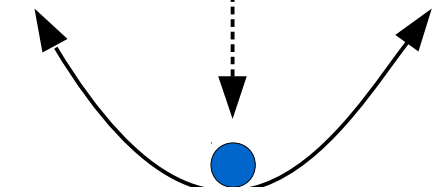
- Goldstone Potential:

$$\begin{aligned}\phi &= \frac{1}{\sqrt{2}} (\phi_1 + i\phi_2) \\ V(\phi) &= -\mu^2 |\phi|^2 + \lambda |\phi|^4 \\ \mathcal{L}(\phi) &= \partial_\mu \phi \partial^\mu \phi^* - V(\phi)\end{aligned}$$



- invariant unter  $U(1)$  Transformationen  
(=  $\varphi$  symmetrisch)
- metastabil in  $\phi = 0$
- Grundzustand bricht  $U(1)$
- Zur gleichen Zeit sind Grundzustände in  $\varphi$  ununterscheidbar

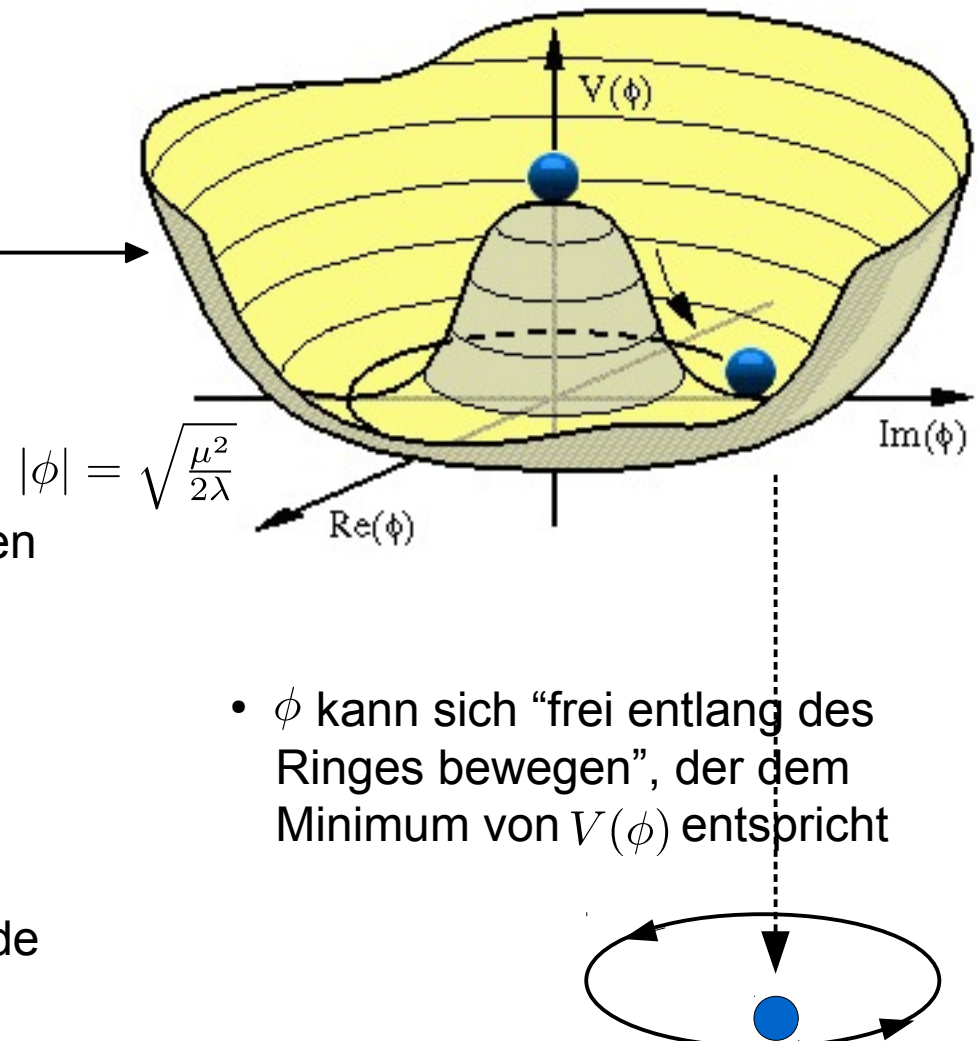
- $\phi$  besitzt radiale Anregungs-zustände im Potential  $V(\phi)$



# Spontane Symmetriebrechung in der Teilchenphysik

- Goldstone Potential:

$$\begin{aligned}\phi &= \frac{1}{\sqrt{2}} (\phi_1 + i\phi_2) \\ V(\phi) &= -\mu^2 |\phi|^2 + \lambda |\phi|^4 \\ \mathcal{L}(\phi) &= \partial_\mu \phi \partial^\mu \phi^* - V(\phi)\end{aligned}$$



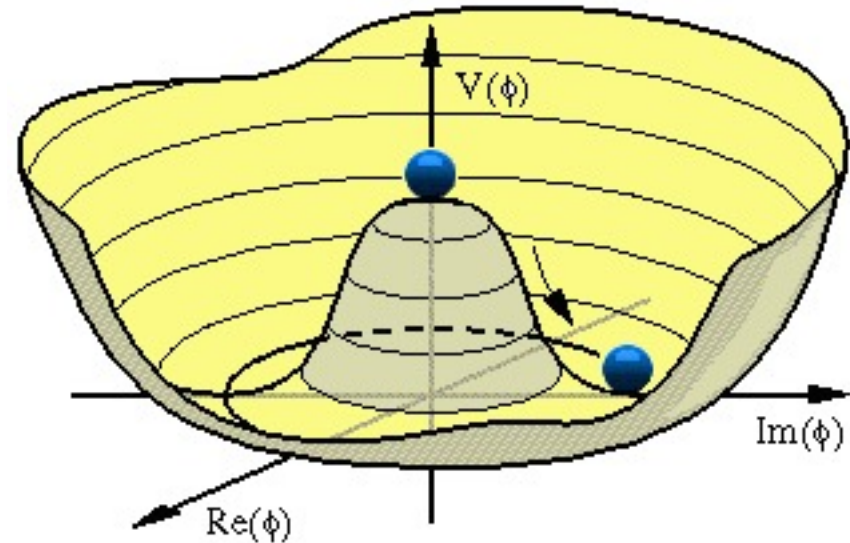
- invariant unter  $U(1)$  Transformationen  
(=  $\varphi$  symmetrisch)
- metastabil in  $\phi = 0$
- Grundzustand bricht  $U(1)$
- Zur gleichen Zeit sind Grundzustände in  $\varphi$  ununterscheidbar

- $\phi$  kann sich “frei entlang des Ringes bewegen”, der dem Minimum von  $V(\phi)$  entspricht

# Goldstone Theorem

- Übersetzt in Teilchenphysik:

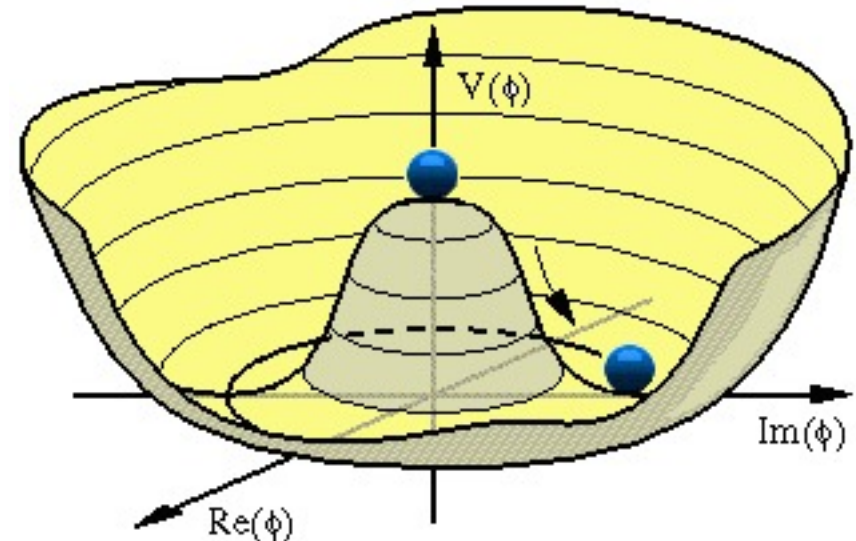
In einer relativistisch kovarianten Quantenfeldtheorie mit spontaner Symmetriebrechung werden **masselose Teilchen** ( $\rightarrow$  **Goldstone-Bosonen**) erzeugt



# Goldstone Theorem

- Übersetzt in Teilchenphysik:

In einer relativistisch kovarianten Quantenfeldtheorie mit spontaner Symmetriebrechung werden **masselose Teilchen** ( $\rightarrow$  **Goldstone-Bosonen**) erzeugt



**Goldstone Bosonen** können sein:

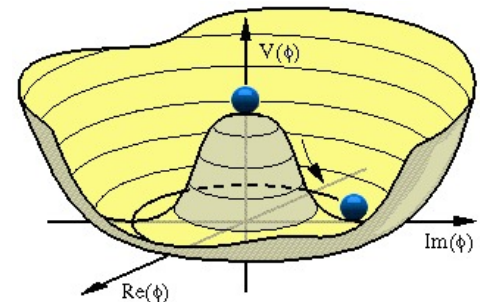
- elementare Felder, die bereits in  $\mathcal{L}$  vorkommen
- gebundene Zustände, die in der Theorie erzeugt werden (Bsp. H-Atom, Cooper-Paare in Supraleitung, ... )
- Unphysikalische (Eich-)Freiheitsgrade, die aus der Theorie durch Wahl geeigneter Randbedingungen entfernt werden können

# Grundzustand (= Quantenvakuum)

- Grundzustand → Ort in dem Hamilton-Operator

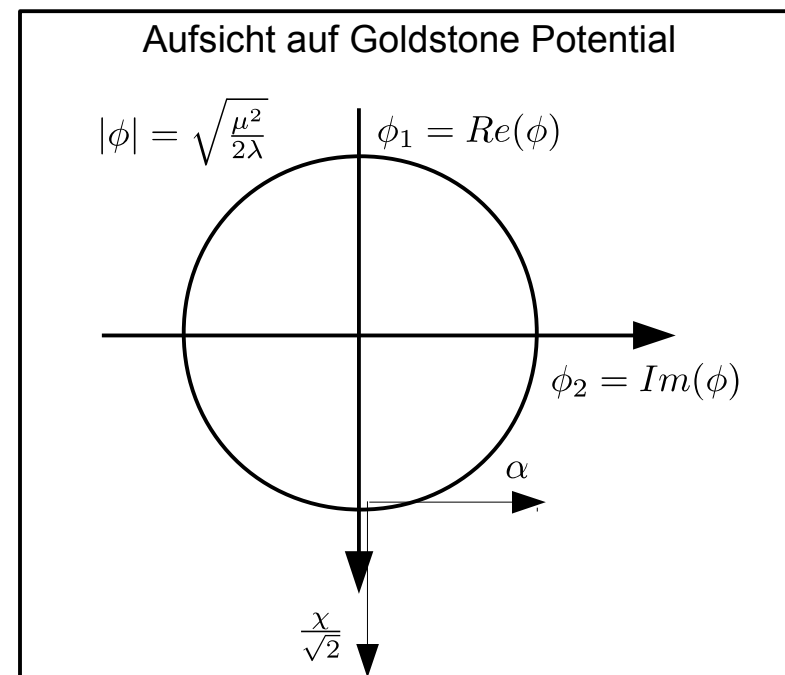
$$\mathcal{H} = \frac{\partial L}{\partial (\partial_0 \phi)} \partial_0 \phi - \mathcal{L} = \partial_0 \phi \partial^0 \phi^* + \partial_j \phi \partial^j \phi^* + V(\phi)$$

minimal ist. In unserem Bsp.  $|\phi| = \sqrt{\frac{\mu^2}{2\lambda}}$



- Analyse in physikalischem Grundzustand  
→ **Taylorentwicklung** in beliebigem  
Punkt in Minimum

$$\phi(\chi, \alpha) = e^{i\alpha} \left( \sqrt{\frac{\mu^2}{2\lambda}} + \frac{\chi}{\sqrt{2}} \right)$$



# Goldstone Potential in Grundzustand

$$\phi(\chi, \alpha) = e^{i\alpha} \left( \sqrt{\frac{\mu^2}{2\lambda}} + \frac{\chi}{\sqrt{2}} \right)$$

- Entwicklung im Grundzustand in zylindrischen Koordinaten:

$$\mathcal{L} = [\partial_\mu \phi \partial^\mu \phi^* - V(\phi)]_{\phi(\chi, \alpha)} = \frac{1}{2} \partial_\mu \chi \partial^\mu \chi + \left( \sqrt{\frac{\mu^2}{2\lambda}} + \frac{\chi}{\sqrt{2}} \right)^2 \partial_\mu \alpha \partial^\mu \alpha - V'(\chi)$$

$$V'(\chi) = [-\mu^2 |\phi|^2 + \lambda |\phi|^4]_{\phi(\chi)} = -\frac{\mu^4}{4\lambda} + \color{red}{\mu^2 \chi^2} + \underbrace{\color{blue}{\mu \sqrt{\lambda} \chi^3 + \frac{\lambda}{4} \chi^4}}$$

*const.*

dynamischer  
Massenterm

Selbstwechsel-  
wirkungen



Warum gibt es keinen Term linear in  $\chi$ ?

# Goldstone Potential in Grundzustand

$$\phi(\chi, \alpha) = e^{i\alpha} \left( \sqrt{\frac{\mu^2}{2\lambda}} + \frac{\chi}{\sqrt{2}} \right)$$

- Entwicklung im Grundzustand in zylindrischen Koordinaten:

$$\mathcal{L} = [\partial_\mu \phi \partial^\mu \phi^* - V(\phi)]_{\phi(\chi, \alpha)} = \frac{1}{2} \partial_\mu \chi \partial^\mu \chi + \left( \sqrt{\frac{\mu^2}{2\lambda}} + \frac{\chi}{\sqrt{2}} \right)^2 \partial_\mu \alpha \partial^\mu \alpha - V'(\chi)$$

$$V'(\chi) = [-\mu^2 |\phi|^2 + \lambda |\phi|^4]_{\phi(\chi)} = -\frac{\mu^4}{4\lambda} + \cancel{\mu^2 \chi^2} + \underbrace{\mu \sqrt{\lambda} \chi^3 + \frac{\lambda}{4} \chi^4}_{\text{Selbstwechselwirkungen}}$$

const.

dynamischer  
Massenterm

Selbstwechsel-  
wirkungen



Warum gibt es keinen Term linear in  $\chi$ ? – Wir haben eine Taylorentwicklung im Minimum durchgeführt. Per Konstruktion gibt es keinen Term linear in  $\chi$ .

# Goldstone Potential in Grundzustand

- Entwicklung im Grundzustand in zylindrischen Koordinaten:

$$\mathcal{L} = \left[ \partial_\mu \phi \partial^\mu \phi^* - V(\phi) \right]_{\phi(\chi, \alpha)} = \frac{1}{2} \partial_\mu \chi \partial^\mu \chi + \left( \sqrt{\frac{\mu^2}{2\lambda}} + \frac{\chi}{\sqrt{2}} \right)^2 \partial_\mu \alpha \partial^\mu \alpha - V'(\chi)$$

$$V'(\chi) = \left[ -\mu^2 |\phi|^2 + \lambda |\phi|^4 \right]_{\phi(\chi)} = -\frac{\mu^4}{4\lambda} + \textcolor{red}{\mu^2 \chi^2} + \textcolor{blue}{\mu \sqrt{\lambda} \chi^3} + \frac{\lambda}{4} \chi^4$$

- Anmerkungen:**

- Massenterm für  $\chi$ , entlang der radialen Auslenkung, die aus Minimum von  $V(\chi)$  herausführt
- Massenterm aus Taylorentwicklung in niedrigster (nicht-verschwindender) Ordnung → unabhängig von exakter Form des Potentials
- Feld  $\alpha$ , das nicht aus Minimum von  $V(\chi)$  herausführt, erhält keine Masse  
→ Goldstone Boson

# Erweiterung zur Eichfeldtheorie

- Hier für Abelsches Modell:

kovariante Ableitung

$$\begin{aligned}
 \mathcal{L} &= [(\partial_\mu + ieA_\mu)\phi] [(\partial^\mu + ieA^\mu)\phi]^* - V(\phi) - \frac{1}{4}F_{\mu\nu}F^{\mu\nu} \\
 &= \left| \frac{1}{\sqrt{2}}\partial_\mu\chi e^{i\alpha} + ie^{i\alpha} \left( \sqrt{\frac{\mu^2}{2\lambda}} + \frac{\chi}{\sqrt{2}} \right) (eA_\mu + \partial_\mu\alpha) \right|^2 - V'(\chi) - \frac{1}{4}F_{\mu\nu}F^{\mu\nu} \\
 &= \frac{1}{2}\partial_\mu\chi\partial^\mu\chi + \left( \left( \sqrt{\frac{\mu^2}{2\lambda}} + \frac{\chi}{\sqrt{2}} \right) \underbrace{(eA_\mu + \partial_\mu\alpha)}_{\text{covariante Ableitung}} \right)^2 - V'(\chi) - \frac{1}{4}F_{\mu\nu}F^{\mu\nu}
 \end{aligned}$$

Entferne  $\alpha$ -Abhängigkeit durch geeignete Eichung:



$$A'_\mu = A_\mu - \frac{1}{e}\partial_\mu\vartheta$$

Wie sieht diese Eichung aus?

# Erweiterung zur Eichfeldtheorie

- Hier für Abelsches Modell:

kovariante Ableitung

$$\begin{aligned}
 \mathcal{L} &= [(\partial_\mu + ieA_\mu)\phi] [(\partial^\mu + ieA^\mu)\phi]^* - V(\phi) - \frac{1}{4}F_{\mu\nu}F^{\mu\nu} \\
 &= \left| \frac{1}{\sqrt{2}}\partial_\mu\chi e^{i\alpha} + ie^{i\alpha} \left( \sqrt{\frac{\mu^2}{2\lambda}} + \frac{\chi}{\sqrt{2}} \right) (eA_\mu + \partial_\mu\alpha) \right|^2 - V'(\chi) - \frac{1}{4}F_{\mu\nu}F^{\mu\nu} \\
 &= \frac{1}{2}\partial_\mu\chi\partial^\mu\chi + \left( \left( \sqrt{\frac{\mu^2}{2\lambda}} + \frac{\chi}{\sqrt{2}} \right) \underbrace{(eA_\mu + \partial_\mu\alpha)}_{\text{covariante Ableitung}} \right)^2 - V'(\chi) - \frac{1}{4}F_{\mu\nu}F^{\mu\nu}
 \end{aligned}$$

Entferne  $\alpha$ -Abhängigkeit durch geeignete Eichung:



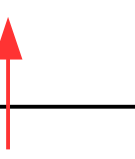
$$A'_\mu = A_\mu - \frac{1}{e}\partial_\mu\vartheta$$

Wie sieht diese Eichung aus?  $\vartheta = -\alpha$

# Erweiterung zur Eichfeldtheorie

- Hier für Abelsches Modell:

kovariante Ableitung



$$\begin{aligned} \mathcal{L} &= [(\partial_\mu + ieA_\mu)\phi] [(\partial^\mu + ieA^\mu)\phi]^* - V(\phi) - \frac{1}{4}F_{\mu\nu}F^{\mu\nu} \\ &= \left| \frac{1}{\sqrt{2}}\partial_\mu\chi e^{i\alpha} + ie^{i\alpha} \left( \sqrt{\frac{\mu^2}{2\lambda}} + \frac{\chi}{\sqrt{2}} \right) (eA_\mu + \partial_\mu\alpha) \right|^2 - V'(\chi) - \frac{1}{4}F_{\mu\nu}F^{\mu\nu} \\ &= \frac{1}{2}\partial_\mu\chi\partial^\mu\chi + \left( \left( \sqrt{\frac{\mu^2}{2\lambda}} + \frac{\chi}{\sqrt{2}} \right) eA'_\mu \right)^2 - V'(\chi) - \frac{1}{4}F_{\mu\nu}F^{\mu\nu} \end{aligned}$$

Massenterm für  $A'_\mu$ :

$$\frac{e^2\mu^2}{2\lambda} A'_\mu A'^{\mu*}$$

Quartische und trilineare  
Kopplungen an  $\chi$ .

# Higgsmechanismus

- Entwicklung von  $\phi \rightarrow \phi(\chi, \alpha)$  in Grundzustand des Goldstone Potentials  
→ Erzeugung eines **Massenterms für  $A'_\mu$  aus Kopplung**  $e^2 |\phi|^2 A'_\mu A'^{\mu*}$

# Higgsmechanismus

- Entwicklung von  $\phi \rightarrow \phi(\chi, \alpha)$  in Grundzustand des Goldstone Potentials  
→ Erzeugung eines **Massenterms für  $A'_\mu$  aus Kopplung**  $e^2 |\phi|^2 A'_\mu A'^{\mu*}$
- $\chi$  ist ein nicht-komplexes Feld,  $\alpha$  wurde in  $A'_\mu$  absorbiert. Es scheint als habe die Theorie einen Freiheitsgrad verloren

# Higgsmechanismus

- Entwicklung von  $\phi \rightarrow \phi(\chi, \alpha)$  in Grundzustand des Goldstone Potentials  
→ Erzeugung eines **Massenterms für  $A'_\mu$  aus Kopplung**  $e^2 |\phi|^2 A'_\mu A'^{\mu*}$
- $\chi$  ist ein nicht-komplexes Feld,  $\alpha$  wurde in  $A'_\mu$  absorbiert. Es scheint als habe die Theorie einen Freiheitsgrad verloren
- Dies ist nicht der Fall:
  - als massloses Teilchen hat  $A'_\mu$  nur zwei Freiheitsgrade (Helizitätseigenzustände für  $\pm 1$ )
  - als massives Teilchen erhält es einen weiteren Freiheitsgrad (Helizitätseigenzustände für  $\pm 1$  und 0)

**Man sagt:**

“Das Eichboson hat das Goldstone Boson aufgefressen und hat darüber seine Masse erhalten...”

# Vervollständigung des SM



# Das neue Feld $\phi$

- Füge  $\phi$  als  $SU(2)_L$ -Dublett zu:

$$\phi = \begin{pmatrix} \phi_+ \\ \phi_0 \end{pmatrix}$$

Transformationsverhalten:

$$\phi \rightarrow \phi' = e^{i\vartheta'} G \phi$$

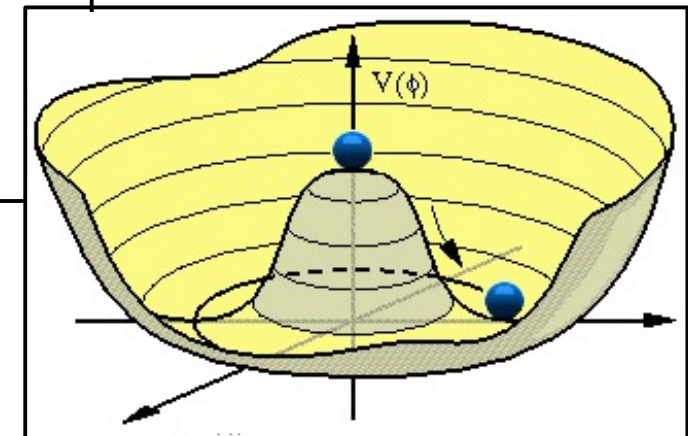
$$\phi^\dagger \rightarrow \phi'^\dagger = \phi^\dagger G^\dagger e^{-i\vartheta'}$$

$$G = e^{i\vartheta^a t^a} \in SU(2)_L \quad \vartheta^a, \vartheta' \in \mathbb{R}$$

$$\mathcal{L}^{SU(2) \times U(1)} = \mathcal{L}^{\text{kin}} + \mathcal{L}^{CC} + \mathcal{L}^{NC} + \mathcal{L}^{\text{gauge}} + \mathcal{L}^{\text{Higgs}}$$

$$\mathcal{L}^{\text{Higgs}} = \partial_\mu \phi^\dagger \partial^\mu \phi - V(\phi)$$

$$V(\phi) = -\mu^2 \phi^\dagger \phi + \lambda (\phi^\dagger \phi)^2$$



# Taylorentwicklung in Grundzustand

- Entwickle  $\phi$  in Grundzustand  $|\phi| = \sqrt{\frac{\mu^2}{2\lambda}}$ :

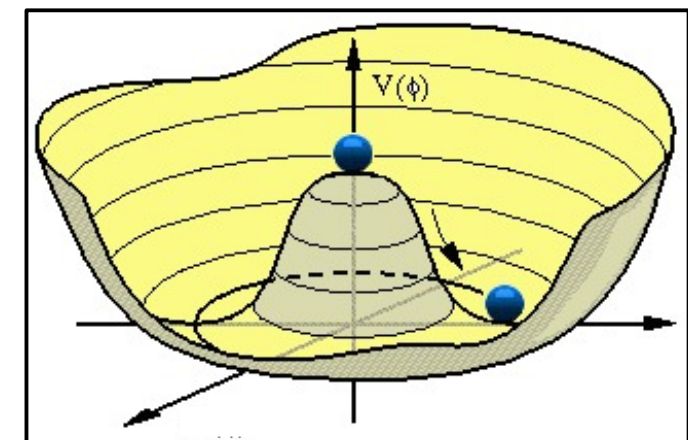
$$\phi = \begin{pmatrix} \phi_+ \\ \phi_0 \end{pmatrix} \xrightarrow{|\phi| = \sqrt{\frac{\mu^2}{2\lambda}}} \phi = \begin{pmatrix} 0 \\ \sqrt{\frac{\mu^2}{2\lambda}} + \frac{H}{\sqrt{2}} \end{pmatrix}$$

**NB:** Entwicklung grundsätzlich überall im Minimum möglich. Für physikalisch konsistentes Modell Entwicklung in unterer Komponente von  $\phi$  nötig

Nicht-verschwindender Vakuumerwartungswert

$$v = \sqrt{\frac{\mu^2}{2\lambda}}$$

Radiale Anregung  
→ Higgs Boson



# Lokale Eichinvarianz für $\phi$

- Entwickle  $\phi$  in Grundzustand  $|\phi| = \sqrt{\frac{\mu^2}{2\lambda}}$ :

$$\phi = \begin{pmatrix} \phi_+ \\ \phi_0 \end{pmatrix} \xrightarrow{|\phi| = \sqrt{\frac{\mu^2}{2\lambda}}} \phi = \begin{pmatrix} 0 \\ \sqrt{\frac{\mu^2}{2\lambda}} + \frac{H}{\sqrt{2}} \end{pmatrix}$$

- Implementiere lokale  $SU(2)_L$ -Invarianz für  $\mathcal{L}^{\text{Higgs}}$
- D.h. führe kovariante Ableitung für  $\phi$  ein:

$$\partial_\mu \rightarrow D_\mu = \partial_\mu + ig' \frac{Y_\phi}{2} B_\mu + ig W_\mu^a \mathbf{t}^a$$

(vgl VL-20 Folie 7ff)

$SU(2)_L \times U(1)_Y$		Hypercharges	
Field	$Y_\phi$	$I_3$	$Q$
$\phi_+$	+1	$+1/2$	+1
$\phi_0$		$-1/2$	0

$$Q = I_3 + \frac{Y}{2}$$

# Massive Eichbosonen

- Ergebnis Entwicklung in Grundzustand (nach Rechnung):<sup>(1)</sup>

$$\begin{aligned}
 D_\mu \phi^\dagger D^\mu \phi = & \frac{1}{2} \partial_\mu H \partial^\mu H \\
 & + m_Z^2 Z_\mu Z^\mu + \frac{2m_Z^2}{v} Z_\mu Z^\mu \frac{H}{\sqrt{2}} + \frac{m_Z^2}{v^2} Z_\mu Z^\mu \frac{H}{\sqrt{2}} \frac{H}{\sqrt{2}} \\
 & + m_W^2 W_\mu^+ W^{\mu-} + \frac{2m_W^2}{v} W_\mu^+ W^{\mu-} \frac{H}{\sqrt{2}} + \frac{m_W^2}{v^2} W_\mu^+ W^{\mu-} \frac{H}{\sqrt{2}} \frac{H}{\sqrt{2}}
 \end{aligned}$$

- (Dynamische) **Massenterme für W- und Z-Boson**
- Charakteristische trilineare und quartische Kopplungen der Eichbosonen an Higgsfeld
- Zusätzliche Vorhersage zu Massen der Eichbosonen:

$$\rho = \frac{m_W^2}{m_Z^2 \cdot \cos^2 \theta_W} \equiv 1 \longrightarrow m_Z > m_W$$

$$\theta_W \approx 28, 74^\circ$$

z.B. aus Messung von W und Z Masse

(1) Rechnung in backup

# Ankopplung an Fermionen

- Higgsmechanismus kann auch dazu genutzt werden **Fermionen (dynamische) Masse** zu verleihen:

$$\mathcal{L}^{\text{Yukawa}} = -f_e (\bar{e}_R \phi^\dagger \psi_L) - f_e^* (\bar{\psi}_L \phi e_R)$$

- Prüfe  $SU(2)_L$  und  $U(1)_Y$  Verhalten von  $\mathcal{L}^{\text{Yukawa}}$

# Ankopplung an Fermionen

- Higgsmechanismus kann auch dazu genutzt werden **Fermionen (dynamische) Masse** zu verleihen:

$$\mathcal{L}^{\text{Yukawa}} = -f_e (\bar{e}_R \phi^\dagger \psi_L) - f_e^* (\bar{\psi}_L \phi e_R)$$

- Prüfe  $SU(2)_L$  und  $U(1)_Y$  Verhalten von  $\mathcal{L}^{\text{Yukawa}}$

$$\begin{aligned}\bar{e}'_R \phi'^\dagger \psi'_L &= \bar{e}_R e^{-iY_R \vartheta'/2} \phi^\dagger G^\dagger e^{-iY_\phi \vartheta'/2} e^{iY_L \vartheta'/2} G \psi_L \\ &= e^{i(Y_L - Y_\phi - Y_R)\vartheta'/2} \bar{e}_R \phi^\dagger G^\dagger G \psi_L \\ &= e^{i((-1) - (+1) - (-2))\vartheta'/2} \bar{e}_R \phi^\dagger \psi_L \\ &= \bar{e}_R \phi^\dagger \psi_L\end{aligned}$$

$$\bar{\psi}'_L \phi' e_R = \text{analog}$$

$\mathcal{L}^{\text{Yukawa}}$  manifest  
eichinvariant

- NB:  $f_e = f_e^*$  kann reell gewählt werden. Eventuelle komplexe Phase kann in  $e_R$  absorbiert werden

# Taylorentwicklung in Grundzustand

- **Entwickle**  $\phi$  in Grundzustand  $|\phi| = \sqrt{\frac{\mu^2}{2\lambda}}$ :

$$\boxed{\phi = \begin{pmatrix} \phi_+ \\ \phi_0 \end{pmatrix} \xrightarrow{|\phi| = \sqrt{\frac{\mu^2}{2\lambda}}} \phi = \begin{pmatrix} 0 \\ \sqrt{\frac{\mu^2}{2\lambda}} + \frac{H}{\sqrt{2}} \end{pmatrix}}$$

$$\begin{aligned}
 \mathcal{L}^{\text{Yukawa}} &= -f_e (\bar{e}_R \phi^\dagger \psi_L) - f_e^* (\bar{\psi}_L \phi e_R) \\
 &= -f_e \left( \bar{e}_R \begin{pmatrix} 0 & \sqrt{\frac{\mu^2}{2\lambda}} + \frac{H}{\sqrt{2}} \end{pmatrix} \begin{pmatrix} \nu \\ e_L \end{pmatrix} + \begin{pmatrix} \bar{\nu} & \bar{e}_L \end{pmatrix} \begin{pmatrix} 0 \\ \sqrt{\frac{\mu^2}{2\lambda}} + \frac{H}{\sqrt{2}} \end{pmatrix} e_R \right) \\
 &= -f_e \underbrace{\left( \sqrt{\frac{\mu^2}{2\lambda}} + \frac{H}{\sqrt{2}} \right)}_{m_e \equiv f_e \sqrt{\frac{\mu^2}{2\lambda}}} \underbrace{(\bar{e}_R e_L + \bar{e}_L e_R)}_{\stackrel{(1)}{\equiv} \bar{e}e} = -f_e \left( \sqrt{\frac{\mu^2}{2\lambda}} + \frac{H}{\sqrt{2}} \right) \bar{e}e
 \end{aligned}$$

$$\boxed{\mathcal{L}^{\text{Yukawa}} = -f_e \left( \sqrt{\frac{\mu^2}{2\lambda}} + \frac{H}{\sqrt{2}} \right) (\bar{e}_R e_L + \bar{e}_L e_R) = -m_e \bar{e}e - \frac{m_e}{v} \frac{H}{\sqrt{2}} \bar{e}e}$$

**9 Elektroschwache Physik**

- 9.1 Eigenschaften der elektroschwachen Wechselwirkung . . . . .
- 9.2 Theorie der elektroschwachen Wechselwirkung . . . . .
- 9.3 Quarkmischung und CP-Verletzung . . . . .



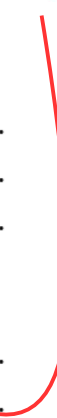
YOU  
ARE  
HERE

**10 Moderne Teilchenphysik**

- 10.1 Schlüsselexperimente der elektroschwachen Wechselwirkung an Collidern . . . . .
- 10.2 Neutrinosphysik . . . . .
- 10.3 Astroteilchenphysik . . . . .

**11 Offene Fragen der Teilchenphysik**

- 11.1 Grenzen des SM . . . . .
- 11.2 Teilchenphysik und Kosmologie . . . . .



# Backup

# Notes on the *Goldstone* potential

- The choice of the *Goldstone* potential has the following properties:
  - it **leads to spontaneous symmetry breaking**.
  - it does **not distinguish any direction in space** ( $\rightarrow$  i.e. only depends on  $|\phi|$  ).
  - it is **bound from below** and does not lead to infinite negative energies, which is a prerequisite for a stable theory.
  - it is the simplest potential with these features.

# Dynamic term of Lagrangian density

- Couple to gauge fields:

$$\phi = \begin{pmatrix} \phi_+ \\ \phi_0 \end{pmatrix} \xrightarrow{|\phi| = \sqrt{\frac{\mu^2}{2\lambda}}} \phi = \begin{pmatrix} 0 \\ \sqrt{\frac{\mu^2}{2\lambda}} + \frac{H}{\sqrt{2}} \end{pmatrix}$$

$$D_\mu \phi^\dagger D^\mu \phi = \left| \left[ \frac{1}{\sqrt{2}} \partial_\mu H + \left( \sqrt{\frac{\mu^2}{2\lambda}} + \frac{H}{\sqrt{2}} \right) \left( ig' \frac{Y_\phi}{2} B_\mu + ig W_\mu^a \mathbf{t}^a \right) \right] \begin{pmatrix} 0 \\ 1 \end{pmatrix} \right|^2$$

$$D_\mu = \partial_\mu + ig' \frac{Y_\phi}{2} B_\mu + ig W_\mu^a \mathbf{t}^a$$

(covariant derivative)

# Dynamic term of Lagrangian density

- Couple to gauge fields:

$$\phi = \begin{pmatrix} \phi_+ \\ \phi_0 \end{pmatrix} \xrightarrow{|\phi| = \sqrt{\frac{\mu^2}{2\lambda}}} \phi = \begin{pmatrix} 0 \\ \sqrt{\frac{\mu^2}{2\lambda}} + \frac{H}{\sqrt{2}} \end{pmatrix}$$

↓

$$D_\mu \phi^\dagger D^\mu \phi = \left| \left[ \frac{1}{\sqrt{2}} \partial_\mu H + \left( \sqrt{\frac{\mu^2}{2\lambda}} + \frac{H}{\sqrt{2}} \right) \left( ig' \frac{Y_\phi}{2} B_\mu + ig W_\mu^a \mathbf{t}^a \right) \right] \begin{pmatrix} 0 \\ 1 \end{pmatrix} \right|^2$$

$$D_\mu = \partial_\mu + ig' \frac{Y_\phi}{2} B_\mu + ig W_\mu^a \mathbf{t}^a$$

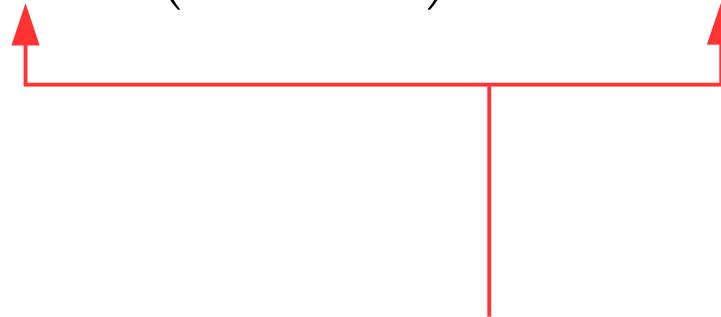
(covariant derivative)

# Dynamic term of Lagrangian density

- Couple to gauge fields:

$$\phi = \begin{pmatrix} \phi_+ \\ \phi_0 \end{pmatrix} \xrightarrow{|\phi| = \sqrt{\frac{\mu^2}{2\lambda}}} \phi = \begin{pmatrix} 0 \\ \sqrt{\frac{\mu^2}{2\lambda}} + \frac{H}{\sqrt{2}} \end{pmatrix}$$

$$D_\mu \phi^\dagger D^\mu \phi = \left| \left[ \frac{1}{\sqrt{2}} \partial_\mu H + \left( \sqrt{\frac{\mu^2}{2\lambda}} + \frac{H}{\sqrt{2}} \right) \left( ig' \frac{Y_\phi}{2} B_\mu + ig W_\mu^a \mathbf{t}^a \right) \right] \begin{pmatrix} 0 \\ 1 \end{pmatrix} \right|^2$$



$$D_\mu = \partial_\mu + ig' \frac{Y_\phi}{2} B_\mu + ig W_\mu^a \mathbf{t}^a$$

(covariant derivative)

# Dynamic term of Lagrangian density

- Resolve products of *Pauli* matrices ( $\mathbf{t}^a \equiv \frac{1}{2}\sigma_a$ ):

$$D_\mu \phi^\dagger D^\mu \phi = \left| \left[ \frac{1}{\sqrt{2}} \partial_\mu H + \left( \sqrt{\frac{\mu^2}{2\lambda}} + \frac{H}{\sqrt{2}} \right) \left( ig' \frac{Y_\phi}{2} B_\mu + ig W_\mu^a \mathbf{t}^a \right) \right] \begin{pmatrix} 0 \\ 1 \end{pmatrix} \right|^2$$

$$\boxed{D_\mu \phi^\dagger D^\mu \phi = \left| \left[ \frac{1}{\sqrt{2}} \partial_\mu H - \frac{i}{2} \left( \sqrt{\frac{\mu^2}{2\lambda}} + \frac{H}{\sqrt{2}} \right) (g W_\mu^3 - g' B_\mu) \right] \begin{pmatrix} 0 \\ 1 \end{pmatrix} \right|^2}$$
$$+ \left| \left[ \frac{i}{2} \left( \sqrt{\frac{\mu^2}{2\lambda}} + \frac{H}{\sqrt{2}} \right) g W_\mu^+ \right] \begin{pmatrix} 1 \\ 0 \end{pmatrix} \right|^2}$$

# Dynamic term of Lagrangian density

- Resolve products of *Pauli* matrices ( $\mathbf{t}^a \equiv \frac{1}{2}\sigma_a$ ):
- Ascending operator  $t^+$  (of  $W_\mu^+$ ) shifts unit vector of the down component up.

$$D_\mu \phi^\dagger D^\mu \phi = \left| \left[ \frac{1}{\sqrt{2}} \partial_\mu H + \left( \sqrt{\frac{\mu^2}{2\lambda}} + \frac{H}{\sqrt{2}} \right) \left( ig' \frac{Y_\phi}{2} B_\mu + ig W_\mu^a \mathbf{t}^a \right) \right] \begin{pmatrix} 0 \\ 1 \end{pmatrix} \right|^2$$

$$\boxed{D_\mu \phi^\dagger D^\mu \phi = \left| \left[ \frac{1}{\sqrt{2}} \partial_\mu H - \frac{i}{2} \left( \sqrt{\frac{\mu^2}{2\lambda}} + \frac{H}{\sqrt{2}} \right) (g W_\mu^3 - g' B_\mu) \right] \begin{pmatrix} 0 \\ 1 \end{pmatrix} \right|^2}$$

$$+ \left| \left[ \frac{i}{2} \left( \sqrt{\frac{\mu^2}{2\lambda}} + \frac{H}{\sqrt{2}} \right) g W_\mu^+ \right] \begin{pmatrix} 1 \\ 0 \end{pmatrix} \right|^2}$$

# Dynamic term of Lagrangian density

- Resolve products of *Pauli* matrices ( $\mathbf{t}^a \equiv \frac{1}{2}\sigma_a$ ):
  - Ascending operator  $t^+$  (of  $W_\mu^+$ ) shifts unit vector of the down component up.
  - Descending operator  $t^-$  (of  $W_\mu^-$ ) “destroys” unit vector of the down component.

$$D_\mu \phi^\dagger D^\mu \phi = \left| \left[ \frac{1}{\sqrt{2}} \partial_\mu H + \left( \sqrt{\frac{\mu^2}{2\lambda}} + \frac{H}{\sqrt{2}} \right) \left( ig' \frac{Y_\phi}{2} B_\mu + ig W_\mu^a \mathbf{t}^a \right) \right] \begin{pmatrix} 0 \\ 1 \end{pmatrix} \right|^2$$

$$\boxed{D_\mu \phi^\dagger D^\mu \phi = \left| \left[ \frac{1}{\sqrt{2}} \partial_\mu H - \frac{i}{2} \left( \sqrt{\frac{\mu^2}{2\lambda}} + \frac{H}{\sqrt{2}} \right) (g W_\mu^3 - g' B_\mu) \right] \begin{pmatrix} 0 \\ 1 \end{pmatrix} \right|^2}$$
$$+ \left| \left[ \frac{i}{2} \left( \sqrt{\frac{\mu^2}{2\lambda}} + \frac{H}{\sqrt{2}} \right) g W_\mu^+ \right] \begin{pmatrix} 1 \\ 0 \end{pmatrix} \right|^2}$$

# Dynamic term of Lagrangian density

- Resolve products of *Pauli* matrices ( $\mathbf{t}^a \equiv \frac{1}{2}\sigma_a$ ):
- Ascending operator  $t^+$  (of  $W_\mu^+$ ) shifts unit vector of the down component up.
- Descending operator  $t^-$  (of  $W_\mu^-$ ) “destroys” unit vector of the down component.
- Operator  $t^3$  switches sign for unit vector of down component.**

$$D_\mu \phi^\dagger D^\mu \phi = \left| \left[ \frac{1}{\sqrt{2}} \partial_\mu H + \left( \sqrt{\frac{\mu^2}{2\lambda}} + \frac{H}{\sqrt{2}} \right) \left( ig' \frac{Y_\phi}{2} B_\mu + ig W_\mu^a \mathbf{t}^a \right) \right] \begin{pmatrix} 0 \\ 1 \end{pmatrix} \right|^2$$

$$\boxed{D_\mu \phi^\dagger D^\mu \phi = \left| \left[ \frac{1}{\sqrt{2}} \partial_\mu H - \frac{i}{2} \left( \sqrt{\frac{\mu^2}{2\lambda}} + \frac{H}{\sqrt{2}} \right) (g W_\mu^3 - g' B_\mu) \right] \begin{pmatrix} 0 \\ 1 \end{pmatrix} \right|^2 + \left| \left[ \frac{i}{2} \left( \sqrt{\frac{\mu^2}{2\lambda}} + \frac{H}{\sqrt{2}} \right) g W_\mu^+ \right] \begin{pmatrix} 1 \\ 0 \end{pmatrix} \right|^2}$$

# Dynamic term of Lagrangian density

- Evaluate components of absolute value squared:

$$D_\mu \phi^\dagger D^\mu \phi = \frac{1}{2} \partial_\mu H \partial^\mu H + \frac{g^2 + g'^2}{4} \left( \sqrt{\frac{\mu^2}{2\lambda}} + \frac{H}{\sqrt{2}} \right)^2 Z_\mu Z^\mu + \frac{g^2}{4} \left( \sqrt{\frac{\mu^2}{2\lambda}} + \frac{H}{\sqrt{2}} \right)^2 W_\mu^+ W^{\mu -}$$

$$(gW_\mu^3 - g'B_\mu) \equiv \sqrt{g^2 + g'^2} Z_\mu$$

$$D_\mu \phi^\dagger D^\mu \phi = \left| \left[ \frac{1}{\sqrt{2}} \partial_\mu H - \frac{i}{2} \left( \sqrt{\frac{\mu^2}{2\lambda}} + \frac{H}{\sqrt{2}} \right) (gW_\mu^3 - g'B_\mu) \right] \begin{pmatrix} 0 \\ 1 \end{pmatrix} \right|^2 + \left| \left[ \frac{i}{2} \left( \sqrt{\frac{\mu^2}{2\lambda}} + \frac{H}{\sqrt{2}} \right) gW_\mu^+ \right] \begin{pmatrix} 1 \\ 0 \end{pmatrix} \right|^2$$

# Dynamic term of Lagrangian density

- Evaluate components of absolute value squared:

$$D_\mu \phi^\dagger D^\mu \phi = \frac{1}{2} \partial_\mu H \partial^\mu H + \frac{g^2 + g'^2}{4} \left( \sqrt{\frac{\mu^2}{2\lambda}} + \frac{H}{\sqrt{2}} \right)^2 Z_\mu Z^\mu + \frac{g^2}{4} \left( \sqrt{\frac{\mu^2}{2\lambda}} + \frac{H}{\sqrt{2}} \right)^2 W_\mu^+ W^{\mu -}$$

$$(gW_\mu^3 - g'B_\mu) \equiv \sqrt{g^2 + g'^2} Z_\mu$$

$$D_\mu \phi^\dagger D^\mu \phi = \left| \left[ \frac{1}{\sqrt{2}} \partial_\mu H - \frac{i}{2} \left( \sqrt{\frac{\mu^2}{2\lambda}} + \frac{H}{\sqrt{2}} \right) (gW_\mu^3 - g'B_\mu) \right] \begin{pmatrix} 0 \\ 1 \end{pmatrix} \right|^2 + \left| \left[ \frac{i}{2} \left( \sqrt{\frac{\mu^2}{2\lambda}} + \frac{H}{\sqrt{2}} \right) gW_\mu^+ \right] \begin{pmatrix} 1 \\ 0 \end{pmatrix} \right|^2$$

# Dynamic term of Lagrangian density

- Evaluate components of absolute value squared:

$$D_\mu \phi^\dagger D^\mu \phi = \frac{1}{2} \partial_\mu H \partial^\mu H + \frac{g^2 + g'^2}{4} \left( \sqrt{\frac{\mu^2}{2\lambda}} + \frac{H}{\sqrt{2}} \right)^2 Z_\mu Z^\mu + \frac{g^2}{4} \left( \sqrt{\frac{\mu^2}{2\lambda}} + \frac{H}{\sqrt{2}} \right)^2 W_\mu^+ W^{\mu -}$$

$$(gW_\mu^3 - g'B_\mu) \equiv \sqrt{g^2 + g'^2} Z_\mu$$

$$D_\mu \phi^\dagger D^\mu \phi = \left| \left[ \frac{1}{\sqrt{2}} \partial_\mu H - \frac{i}{2} \left( \sqrt{\frac{\mu^2}{2\lambda}} + \frac{H}{\sqrt{2}} \right) (gW_\mu^3 - g'B_\mu) \right] \begin{pmatrix} 0 \\ 1 \end{pmatrix} \right|^2 + \left| \left[ \frac{i}{2} \left( \sqrt{\frac{\mu^2}{2\lambda}} + \frac{H}{\sqrt{2}} \right) gW_\mu^+ \right] \begin{pmatrix} 1 \\ 0 \end{pmatrix} \right|^2$$

# Dynamic term of Lagrangian density

- Evaluate components of absolute value squared:

$$D_\mu \phi^\dagger D^\mu \phi = \frac{1}{2} \partial_\mu H \partial^\mu H + \frac{g^2 + g'^2}{4} \left( \sqrt{\frac{\mu^2}{2\lambda}} + \frac{H}{\sqrt{2}} \right)^2 Z_\mu Z^\mu + \frac{g^2}{4} \left( \sqrt{\frac{\mu^2}{2\lambda}} + \frac{H}{\sqrt{2}} \right)^2 W_\mu^+ W^{\mu-}$$

$$(gW_\mu^3 - g'B_\mu) \equiv \sqrt{g^2 + g'^2} Z_\mu$$

$$D_\mu \phi^\dagger D^\mu \phi = \left| \left[ \frac{1}{\sqrt{2}} \partial_\mu H - \frac{i}{2} \left( \sqrt{\frac{\mu^2}{2\lambda}} + \frac{H}{\sqrt{2}} \right) (gW_\mu^3 - g'B_\mu) \right] \begin{pmatrix} 0 \\ 1 \end{pmatrix} \right|^2 + \left| \left[ \frac{i}{2} \left( \sqrt{\frac{\mu^2}{2\lambda}} + \frac{H}{\sqrt{2}} \right) gW_\mu^+ \right] \begin{pmatrix} 1 \\ 0 \end{pmatrix} \right|^2$$

# Masses for Gauge Bosons

- By introducing  $\phi$  as a  $SU(2)$  doublet with a non-zero energy ground state we have obtained:

$$D_\mu \phi^\dagger D^\mu \phi = \frac{1}{2} \partial_\mu H \partial^\mu H + \frac{g^2 + g'^2}{4} \left( \sqrt{\frac{\mu^2}{2\lambda}} + \frac{H}{\sqrt{2}} \right)^2 Z_\mu Z^\mu + \frac{g^2}{4} \left( \sqrt{\frac{\mu^2}{2\lambda}} + \frac{H}{\sqrt{2}} \right)^2 W_\mu^+ W^{\mu-}$$

- Masses:  $m_Z^2 \equiv \underbrace{\frac{(g^2 + g'^2)\mu^2}{8\lambda}}$        $m_W^2 \equiv \underbrace{\frac{g^2\mu^2}{8\lambda}}$
- Characteristic tri-linear and quartic couplings of the gauge bosons to the Higgs field.
- A solid prediction of the SM on the masses of the gauge bosons:

$$\rho = \frac{m_W^2}{m_Z^2 \cdot \cos^2 \theta_W} \equiv 1 \longrightarrow m_Z > m_W$$

# Masses for Gauge Bosons

- By introducing  $\phi$  as a  $SU(2)$  doublet with a non-zero energy ground state we have obtained:

$$\begin{aligned} D_\mu \phi^\dagger D^\mu \phi = & \frac{1}{2} \partial_\mu H \partial^\mu H \\ & + m_Z^2 Z_\mu Z^\mu + \frac{2m_Z^2}{v} Z_\mu Z^\mu \frac{H}{\sqrt{2}} + \frac{m_Z^2}{v^2} Z_\mu Z^\mu \frac{H}{\sqrt{2}} \frac{H}{\sqrt{2}} \\ & + m_W^2 W_\mu^+ W^{\mu-} + \frac{2m_W^2}{v} W_\mu^+ W^{\mu-} \frac{H}{\sqrt{2}} + \frac{m_W^2}{v^2} W_\mu^+ W^{\mu-} \frac{H}{\sqrt{2}} \frac{H}{\sqrt{2}} \end{aligned}$$

- Characteristic tri-linear and quartic couplings of the gauge bosons to the Higgs field.
- A solid prediction of the SM on the masses of the gauge bosons:

$$\rho = \frac{m_W^2}{m_Z^2 \cdot \cos^2 \theta_W} \equiv 1 \longrightarrow m_Z > m_W$$

# Vacuum expectation value

- We can obtain a precise estimate for the vacuum expectation value,  $v = \sqrt{\frac{\mu^2}{2\lambda}}$ , via its relation to  $m_W$ .

$$m_W^2 = \left(\frac{g}{2}\right)^2 v^2 \quad (\text{from Higgs mechanism, c.f. backup slide 49})$$

$$m_W^2 = \frac{\sqrt{2}g^2}{8G_F} \quad (\text{from Fermi theory VL-19 Folie 19})$$



Fermi constant:

$$G_F = (1.16639 \pm 0.00002) \times 10^{-5} \text{ GeV}^{-2}$$

(determined from muon lifetime measurements)

$$v = \frac{1}{\sqrt{\sqrt{2}G_F}} = 246.22 \text{ GeV}$$

- Sets the scale of electroweak symmetry breaking.